



C : 定数

$a(\theta_t)$ 、 $a(\theta_r)$  : 送信・受信アンテナ放射パターン

r : 送・受信点距離

$E_r$  : 振幅

4. 解析結果 トモグラフィの解析セルは、孔間距離 8m, 12mの各断面とも 1m×1m の正方形とした。解析法は反復法の SIRT、CGと最小自乗法の DLST、SVDの4種類を用いた。解析の結果、各解法ともほぼ同様の結果が得られた。ここではSVD法（イテレーション20回）の結果について示す。解析で得られた速度分布構造および減衰分布構造を、図-3に示す。孔間距離 20mの間を2分割して測定した孔間距離 8mの断面では、GL-3m～-10mの範囲は相対的に低速度帯（0.052m～0.057m/ns）で減衰が大きくGL-10m～-13mの範囲は中速度帯（0.057～0.062m/ns）で中間的な減衰性を示し、GL-13m～-19mの範囲は高速度帯（0.062～0.067m/ns）で減衰は小さく、さらにGL-19m～21mは中速度帯（0.057～0.062m/ns）で中間的な減衰性で再構成されている。孔間距離12mの断面では、GL-3m～-9mの範囲は相対的に低速度帯（0.052m～0.057m/ns）で減衰が大きくGL-9m～-14mの範囲は中速度帯（0.057～0.062m/ns）で中間的な減衰性を示し、GL-14m～-23mの範囲は高速度帯（0.062～0.067m/ns）で減衰は小さく、さらにGL-23m以深は中速度帯（0.057～0.062m/ns）で中間的な減衰性で再構成されている。孔間距離 8mと12mの断面は若干異なるものの層の連続性が認められる。地質調査結果と対比させると、地下水に飽和された亀裂が比較的多い強風化帯は低速度帯で減衰性が大きく、亀裂の比較の少ない風化帯は中速度帯で中間の減衰性、亜風化帯は高速度帯で減衰性が小さいという相関が認められる。

5. まとめ 地下水で飽和された 比較的多い亀裂が多く、また減衰性の大きい石英安山岩地山におけるボーアホール型レーダーによるトモグラフィ探査実験で速度分布、減衰分布は地質調査で得られた層構造と比較的良好な相関が得られ、現位置岩盤でのレーダートモグラフィの適用性が確認できた。なお、RAMACシステムによる測定に尽力いただいた物理計測コンサルタント（株）の関係各位に謝意を表します。

（参考文献）1）上野，他：レーダー・トモグラフィ探査実験，第45回土木学会年次学術講演会

発信点 GL - 7.0 m

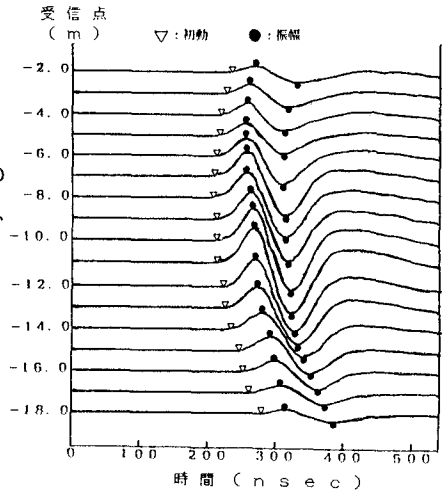


図-2 受信波形例

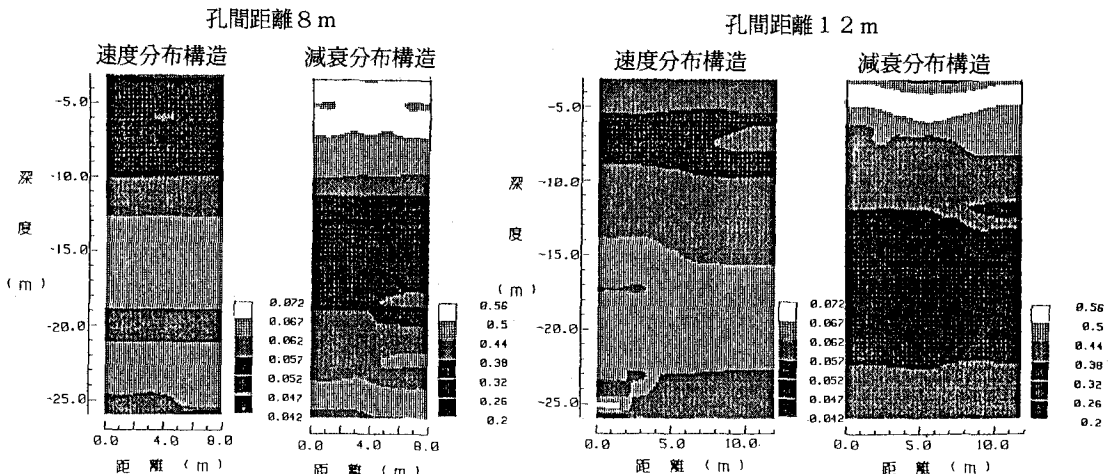


図-3 レーダー・トモグラフィによる解析結果（SVD法）